



Skeletformulier

Defrancq J., Monument Vandekerckhove



Skeletformulier

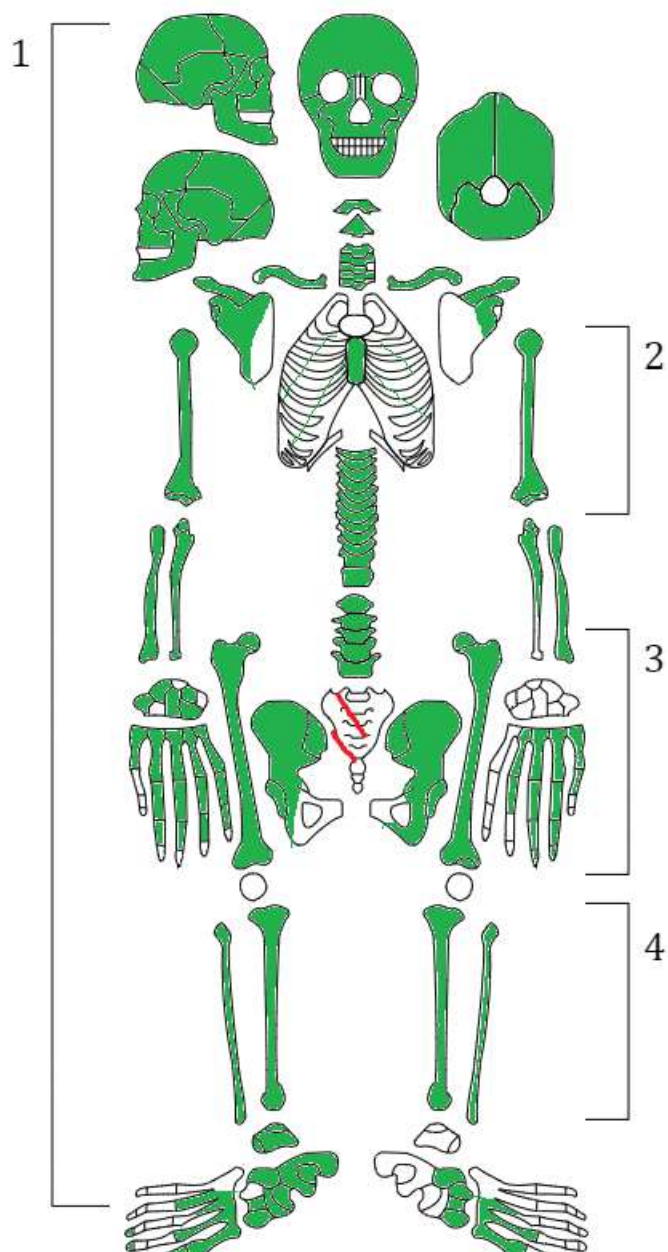
1. Basisinformatie

SKELETNUMMER	S59
PROJECTNUMMER	KO22LA
BEWARING	Goed
COMPLEET	Compleet
TANDEN	Compleet
GESLACHT	Man
LEEFTIJDSCATEGORIE	Jong midden volwassene
LENGTE	170.1522
PATHOLOGIE	DD, AMF, supernumerary vertebra, abces
CRANIALE INDEX	82.5490
OPM	Zeer hoge verwerking van tanden

REFERENTIEFOTO



2. INVENTARIS



Bewaring is: goed = groen, matig = oranje, slecht = rood

3. Dentale inventaris en analyse

3.1. Dentale pathologie:

Evaluatie dentale pathologie (aanpassing van Hilson 2001) (**Anexo 2**):

	Rechts									Links								
	M3	M2	M1	PM 2	PM 1	C	I2	I1	I1	I2	C	PM 1	PM 2	M1	M 2	M3		
Bovenkaak	M3	M2	M1	PM 2	PM 1	C	I2	I1	I1	I2	C	PM 1	PM 2	M1	M 2	M3		
Aanwezigheid*	CO N	PRE S	PRES	PM	PRE S	PRE S	PRE S	PRE S	PRE S	PRE S	PRE S	PRE S	PRE S	PM	A M	CO N		
Occlusaal		0	0		0							0	0					
Mesiaal		0	0		0	0	0	0	0	0	0	0	0					
Distaal		0	0		0	0	0	0	0	0	0	0	0					
Bucaal		0	0		0	0	0	0	0	0	0	0	0					
Tandsteen		2	1		0	0	0	0	0	0	0	0	0					
LEH (N)						0	0	0	0	0	0							
Parodontitis						0	0	0	0	0	0							
	Rechts									Links								
	M3	M2	M1	PM 2	PM 1	C	I2	I1	I1	I2	C	PM 1	PM 2	M1	M 2	M3		
Onderkaak	M3	M2	M1	PM 2	PM 1	C	I2	I1	I1	I2	C	PM 1	PM 2	M1	M 2	M3		
Aanwezigheid*	PRE S	AM	GROSS	PRE S	PRE S	PRE S	PRE S	PRE S	PRE S	PRE S	PRE S	PRE S	PRE S	PRE S	P M	PRE S		
Occlusaal	0			0	0							0	0	0		0		
Mesiaal	0			0	0	0	0	0	0	0	0	0	0	0		0		
Distaal	0			0	0	0	0	0	0	0	0	0	0	0		0		
Bucaal	0			0	0	0	0	0	0	0	0	0	0	0		0		
Tandsteen	2			1	1	1	2	2	2	2	1	2	2	2		0		
LEH						0	0											
Parodontitis						2	2	2	2	2	2							

*aanwezigheid: kies tussen opties

PM	Peri of Post-Mortem verlies
PRES	Aanwezig
AM	Ante-Mortem verlies
Gross	Verloren door infectie en/of cariës

Cariës score

NULL	Site niet aanwezig
0	Niet zichtbaar
1	Gaatje of ruw oppervlak
2	Dentine ligt bloot
3	Gevorderde cariës (gross caries)

4

Pulp ligt bloot

Andere pathologieën

<i>Tandsteen</i>	Weinig (1); gevorderd (2), veel (3); niet aanwezig (0)
<i>LEH</i>	Minstens één lijn zichtbaar (1); niet zichtbaar (0)
<i>Parodontitis</i>	Geen (0), beginnend (1), Gevorderd (2)

3.2. Tandverwerking van de kiezen

Evalueer tanderosie per kies en per kwadrant (1-10) (Scott 1979) (**Anexo 3**).

Maxillair						
Rechts			Links			
M3	M2	M1	M1	M2	M3	
Mesiobuccal	5	7				
mesiolinguaal	7	10				
distobuccaal	7	5				
distolinguaal	8	7				
Totaal						

Mandibula						
Rechts			Links			
M3	M2	M1	M1	M2	M3	
Mesiobuccaal			8		8	
mesiolinguaal			10		9	
distobuccaal			8		8	
distolinguaal			7		9	
Totaal						

Score

1	Erosievlakken klein of onzichtbaar
2	Erosievlakken zichtbaar maar cusp nog goed zichtbaar
3	Cusp rond, maar nog niet plat
4	Cups plat maar geen dentine (puntje genegeerd)
5	Minder dan ¼ oppervlak dentine
6	Meer dan ¼ oppervlak dentine
7	Email aan t ^{wee} kanten
8	Email aan één kant (externe rand) maar dik
9	Email aan een kant en dun
10	Geen email meer

Opmerkingen



4. Sekse

4.1. Os coxa

Evalueer de os pubis (**Anexo 4**) (man?-man-vrouw-vrouw?).

Phenice 1969	
Ventrale boog (aanwezig=vrouwelijk)	
Subpubische holte (aanwezig=vrouwelijk)	
Ischiopubische boog (kam = vrouwelijk)	
Conclusie:	

4.2. Os Ilium

Evalueer het os ilium (**Anexo 5**) (man?-man-vrouw-vrouw?).

Buikstra y Ubelaker 1994	
Greater Sciatic Notch	SMAL
Sulcus Preauricularis	AFWEZIG
Conclusie: MAN	

Score

0	Onbepaald
1	Vrouwelijk
2	Waarschijnlijk vrouwelijk
3	Ambigu
4	Waarschijnlijk mannelijk
5	Mannelijk

4.3. DSP

Metrische geslachtsbepaling via os coxa (**Anexo 6**) met behulp van DSP (**Murail et al. 2005**)

Geslachtsdeterminatie, os coxa (Murail et al. 2005)		
Resultaat	Probabiliteit	
Conclusie:		

4.4. Schedel

Evalueer het geslacht met behulp van morfologische eigenschappen van de schedel (**Anexo 7**) (score 0-5).

Geslachtsdeterminatie, Schedel (Buikstra and Ubelaker 1998)	
<i>Nuchal crest</i> (1-5)	2
<i>Mastoid process</i> (volumen) (1-5)	5
<i>Supraorbital margin</i> (1-5)	4
<i>Glabella</i> (1-5)	4
<i>Mental eminence</i> (1-5)	5
Gemiddeld	4
Conclusie: MAN	

Scores

0	Onbepaald
1	Vrouwelijk
2	Vrouwelijk?
3	Ambigu
4	Mannelijk?
5	Mannelijk

Conclusie en opmerkingen

5. Leeftijdsbepaling

5.1. Auriculair oppervlak

Beschrijving van de verschillende degeneratieve fasen van het auriculair oppervlak (Lovejoy et al. 1985) (**Anexo 8**).

Beschrijving	
Transversale organisatie:	Afwezig
Densiteit en granulatie:	Dens bot
Striae en golven:	Golven aanwezig
Microporositeit:	Overal aanwezig
Macroporositeit:	Zeer beperkt
Retro auriculaire en apex activiteit	Aanwezig

Fase	Leeftijd
1	20-24
2	25-29
3	30-34
4	25-39
5	40-44
6	45-49
7	50-59
8	60+

5.2. Symfyse van het os pubis

5.2.1. Todd (1920) y Brooks and Suchey (1990).

Beschrijving (Anexo 9).

5.2.2. Chen et al (2008; 2011)

Evalueer de verschillende aspecten van de os pubis (F1-F9) beschreven door Chen et al (2008; 2011) (**Anexo 10**).

M

F 1		F 2		F 3		F 4		F 5		F 6		F 7		F 8		F 9		C	SD
	0.4 2		1.4 8		1.8 8		2.5 1		- 0.4 3		1.7 6		3.2 5		- 0.6 6		7.3 1	16. 97	2.1 3

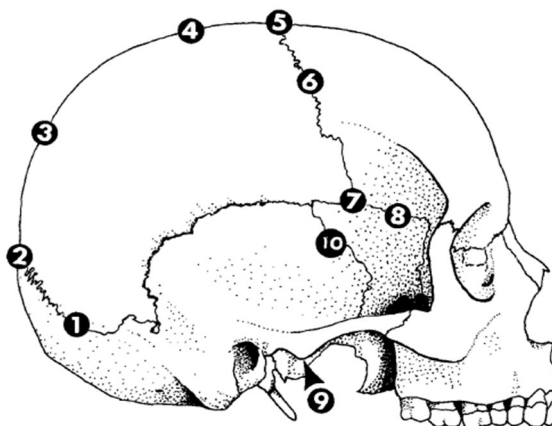
F

F 1		F 2		F 3		F 4		F 5		F 6		F 7		F 8		F 9		C	SD
	2. 2		1.3 5		- 0.1 6		2.3 6		1.7 2		1.0 2		3.0 4		- 1.7 9		5.3 8	14. 90	1.8 9

5.3. Ectocraniale naden

Evalueer ectocraniale naden (Meindl and Lovejoy 1985) (**Anexo 11**)

Site	Score (0-3)
1	0
2	1
3	3
4	1
5	0
6	2
7	3
Totaal	9
8	
9	
10	
Pterion (7)	



Midcoronal (6)	
Total	

<i>Vault</i>						<i>lateroanterior</i>					
Score	n	Mean	S.D.	90% range	Range	Score	n=	Mean	S.D.	90% range	Range
0 (Open)	2	---	---	-35	-49	0 (Open)	42	---	---	-43	-50
1, 2	4	30.5	9.6	19-44	18-45	1	18	32.0	8.3	21-42	19-48
3, 4, 5, 6	3	34.7	7.8	23-45	22-48	2	18	36.2	4.8	29-44	25-49
7, 8, 9, 10, 11	5	39.4	9.1	28-44	24-60	3, 4, 5	56	41.1	8.3	28-52	23-68
12, 13, 14, 15	5	45.2	12.6	31-65	24-75	6	17	43.4	8.5	30-54	23-63
16, 17, 18	3	48.8	10.5	35-60	30-71	7, 8	31	45.5	7.4	35-57	32-65
19, 20	2	51.5	12.6	34-63	23-76	9, 10	29	51.9	10.2	39-69	33-76
21 (Closed)	1	---	---	43-	40-	11, 12, 13, 14	24	56.2	6.3	49-65	34-68
15 (Closed)	1	---	---	---	---	15 (Closed)	1	---	---	---	---
Consensus											
Gemiddeld 39,4 jaar											

5.4. Tanderosie

Evalueer tanderosie volgens het schema van Maat (2001) (**Anexo 20**):

Interval: 45-65 jaar

5.5. Epifysen

Beschrijf de sluiting van de zichtbare groeischijven (Buikstra y Ubelaker 1994; Scheuer y Black 2000) (Anexo 13).

Alle epifysen zijn gesloten

5.6. Tanderuptie (minderjarigen)

Beschrijf tanderuptie zoals beschreven door Ubelaker (1989) (Anexo 14).

5.7. Consensus leeftijd

Consensus leeftijd (Anexo 15)

Auriculair oppervlak en schedelnaden wijzen op een leeftijd van een oud midden volwassene (35-45) terwijl de gevorderde tanderosie op een oudere leeftijd wijst (>45). Mogelijk heeft deze laatste te maken met occupatie is deze minder een indicatie van leeftijd. Een studie op populatieniveau is hier noodzakelijk.

6. Lengte

Bereken de lichaamslengte aan de hand van metingen van lange beenderen (Trotter and Gleser 1958; Trotter 1970) (**Anexo 16**).

Onderdeel (man)	Max lengte (x)	m	b	SD	Resultaat ($m \cdot x + b$) +'soft tissue correction'
Hum	326,70	3.08	70. 45	4.05	
Rad		3.78	79. 01	4.32	
Uln		3.70	74. 05	4.32	
Fem	456.90	2.38	61. 41	3.27	170.1522
Fib		2.68	71. 78	3.29	

Onderdeel (vrouw)	Max Lengte (x)	m	b	SD	Resultaat ($m \cdot x + b$) + 'soft tissue correction' ¹
Hum		3.36	57.97	4.45	
Rad		4.74	54.93	4.24	
Uln		4.27	57.76	4.30	
Fem		2.47	54.10	3.72	
Fib		2.93	59.61	3.57	

7. Craniale index

Maximale craniale breedte	147,35
Maximale craniale lengte	178,5
index	82.5490

8. Niet-metrische morfologische kenmerken

(Anexo 17)

	Aanwezigheid	
Metopisme (afw =0/pres=1)	0	
Supraorbitale snede inkeping= 2/ foramen = 2/aus=0	0	
Infraorbitale scheur (afw=0/pres=1)	1	
Os inca (afw =0/pres=1)	0	
Os Wormeano	0	
Exostosis Auditiva (afw =0/pres=1)	0	
Torus Mandibularis (afw =0/zwak=1/sterk=2)	0	
Torus Palatinus (afw =0/zwak=1/sterk=2)	2	
Torus Maxilaris (afw =0/zwak=1/sterk=2)	0	
Mylohyoid bridge (afw =0/pres=1)	0	
Extra articulatie aan sacroilium gewricht (afw =0/pres=1)	0	
Os acromiale (afw =0/pres=1)	0	
Extensie van de glenoid fossa (afw =0/pres=1)	0	
Sternal foramen (afw =0/pres=1)	0	

¹ over 45: Height loss (cm) = 0.16 (age - 45) Standard deviation = ± 3.7cm0

Supratrochlear foramen (afw =0/pres=1)	0	
Inkeping van de vastus (patella) (afw =0/pres=1)		
Hurkfacet (tibia) (afw =0/pres=1)	0	
Hurkfacet (talus) (afw =0/pres=1)	0	
Allan's facet	0	
Poiriers facet	0	
Dentale morfologische kenmerken	Aanwezigheid	
<i>Shovel shaped</i> snijtanden (afw =0/pres=1)	0	
Canine crest (afw =0/pres=1)	0	
Carabelli's cusp (UM1) (afw =0/pres=1)	0	
Extra cusp in mandibulaire PM (afw =0/pres=1)	0	
Protostylid mandibulaire kiezen (afw =0/pres=1)	0	
Enamel extensies (afw =0/pres=1)	0	
Enamel parel (afw =0/pres=1)	0	
Taurodontisme (afw =0/pres=1)	0	

9. Paleopathologie:

Beschrijving pathologiën (Ortner 1984, Waldron 2009)
<p>Vorming van een pseudegewricht aan de rechter temporomandibulaire articulatie waarschijnlijk door breuk van de <i>mandibulair condyle</i>.</p> <p>Vertebrale verschuiving: 6 lumbale vertebra waarvan de bovenste over costale gewrichtsvlakken beschikt. Slechts 11 toracale wervels aanwezig.</p> <p>Onverste vertebrale lichaam van C4-6 verstonen osteofyten en pitting consistent met DDD</p> <p>Vrij diep rhumboid depressie in beide clavicula</p> <p>Abces ter hoogte van linker maxilaire PM1, deze tand is volledig verweerd tot op de pulpa</p> <p>Opmerkelijk is de volledige aanwezigheid van caries.</p>